

京都大学 正員 ○池田有光
平岡正勝

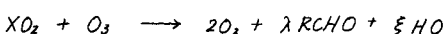
1. はじめに

大気汚染でいういわゆる光化学スモッグについては、その生因となる主成分から、 SO_x -空気系と、炭化水素(HC と書く)- NO_x -空気系の二つに分離して反応現象が解明されてきている。これは前者による高濃度汚染が後者による高濃度汚染の発生期と異なると考えられてきたことと、反応現象が複雑で不明な部分が多いいために、 SO_x と炭化水素を分離して扱う方が研究解明し易いこととに原因している。しかしながら夏季の光化学スモッグ発生メカニズムを解明する過程では、大気中に含まれる SO_2 を HC - NO_x -空気系によるオキシダント生成反応に加えて、その作用を解明することが現象をより忠実に示す点と、不確かな人体等への被害の原因を探るためにも必要である。

2. 反応モデル

これまでに筆者は、Spindt (1) と Altshuller (2) らによるプロピレン- NO_x -空気系の光化学反応実験結果を利用して、 HC - NO_x -空気系の光化学反応集約モデルを作成している。それによると基本とした反応式は 29 式、14 の化学種から成り立ち、もっとも簡単な集約モデルは、11 の反応式と 7 の化学種から成り立っている(3)。 HC - NO_x -空気系の光化学反応モデル化で 7 成分の化学種よりも少ない成分によっては HC , NO , NO_2 , O_3 の 4 成分の濃度変動をえうまくシミュレートさせることは不可能となる。この 7 成分の化学種とは、 HC , NO , NO_2 , O_3 , 過酸化ラジカル(XO_2), HO ラジカル, および O 原子である。今回の研究では、もっとも簡単なモデルに再検討を加えた。すなはち 7 成分 11 式では簡略化しきれたために実際の反応機構から相当はずれた表現になつてるので HC の分解で生ずる中间生成物であるアルデヒド($RCHO$)を加え、さらに Mc Nellis (4) が行った HC - O_3 - H_2O -空気系の暗反応実験結果から光化学反応に関与しない反応式の構造を調べることによって改良と加えた。彼の実験結果によると、初期の HC/O_3 濃度比が変れば暗反応中に消費される HC と O_3 の割合も変化する。

そこで次の反応が加えられた。



Sander ら (5) は SO_2 - HC - NO_x -空気系の光化学反応式について多くの人々の研究結果(6, 7)をまとめている。

その結果をふまえて簡略化を試みたものが表-1 にあげたモデルである。

Mc Nellis (4) は反応系に NO_x を含む実験や、光照射実験を行っていないので表-1 にあげた反応式のすべてをそれで検証することはできない。しかし一部の式については行えるので次にその検討結果を示す。

SO_2 が存在するとき、仮に $SO_2 + HO$ の反応のみを採用すると、 SO_2 の時間とともに減少する速度は計算結果の

Table 1 The Simplified Photochemical Reaction Model of SO_2 - HC - NO_x -Air Mixtures

Reaction	Rate coef. (k_i)
1 $NO_2 + h\nu \rightarrow NO + O$	k_a
2 $O + O_2 + M \rightarrow O_3 + M$	2×10^{-5}
3 $HO + NO_2 + M \rightarrow HNO_3 + M$	0.011
4 $O_3 + NO \rightarrow NO_2 + O_2$	30.0
5 $XO_2 + NO \rightarrow NO_2 + \lambda RCHO + \xi HO$	400
6 $XO_2 + NO_2 \rightarrow Products$	3
7 $RCHO + h\nu \rightarrow \alpha XO_2$	$0.042k_a$
8 $RCHO + HO \rightarrow \beta XO_2$	25000
9 $HC + O \rightarrow \varphi XO_2 + \varepsilon RCHO$	5500
10 $HC + HO \rightarrow \theta XO_2$	22000
11 $HC + O_3 \rightarrow \varphi XO_2 + \varepsilon RCHO$	0.0123
12 $XO_2 + XO_2 \rightarrow Products$	2000
13 $SO_2 + h\nu \rightarrow SO_2^*$	$0.02k_a$
14 $SO_2^* + SO_2 \rightarrow H_2SO_4 + SO_2$	5400
15 $SO_2^* \rightarrow SO_2$	4400
16 $SO_2 + HO \rightarrow H_2SO_4$	780
17 $SO_2 + XO_2 \rightarrow H_2SO_4 + \lambda RCHO + \xi HO$	
18 $XO_2 + O_3 \rightarrow 2O_2 + \lambda RCHO + \xi HO$	
19 $HC + XO_2 \rightarrow \lambda RCHO + \xi HO$	
$\lambda = 0.7, \quad \xi = 0.75 \quad \alpha = 1.4 \quad \beta = 1.4$	
$\varphi = 1.5 \quad \varepsilon = 1.0 \quad \theta = 1.33 \quad k_{17} = 1.6$	
$k_{18} = 1.5 \quad k_{19} = 0.6$	

方が小さくなる。反応速度定数 k_{16} (表-1中第16式) を増やすと、HCの減少がみえられ、もとの反応系に不適合に作用する。これを解決する方法として、 SO_2 と NO_2 の反応を加えた。得られた実験値によく一致する反応式と速度定数、化学量論係数を表-1にあげている。図.1, 21は McNelis の実験結果と計算による反応曲線、図.3は Spindt の実験結果と計算による反応曲線を示しておく。

3. 結論

反応モデルの検証は暗反応でかつ NO_x が存在しない場合に限定しているが、次のような新しい知見を得て、その結果を利用して簡略モデルの改良を行った。

- O_3 の消費は過酸化ラジカルとの反応によって促進されこの効果を無視すべきではない。
- HCの消費には HO ラジカルとの反応の他に、過酸化ラジカル XO_2 による反応が重要である。 O_3 による酸化は無視できる。
- H_2O は SO_3 と H_2SO_4 とは一様の大気中に含まれる H_2O の濃度のオーダーに対して SO_3 は速やかに H_2SO_4 に変換し、 $\text{SO}_3 + \text{H}_2\text{O}$ の反応を無視して生成された SO_3 と H_2SO_4 においても、反応系に影響が出ない。

NO_x が系に入ったときや、さらに光照射のある場合については利用できますデータが入手でき次第

検証し、 $\text{SO}_2-\text{NO}_x-\text{HC}-\text{空気系反応メカニズム}$ の統合的な検討によりモデルをより親密にできるものに改良する必要がある。

3.1 用文献

- (1) Spindt, R.S. (1972) : Advances in Env. Sci. & Tech., Vol. 4, p83
- (2) Altshuller, A.P. (1967) : Env. Sci. & Tech., Vol. 1 p899
- (3) 池田有光 (1977) : 大気汚染研究, 11, 6. p19-40
- (4) McNelis, D.N. (1974) : Office of Res. & Dev. Rep. EPA-650/4-74-034, Aug.
- (5) Sander, S.P. (1976) : Env. Sci. & Tech., 10, 12, p1114-1123
- (6) Smith, J.P. (1974) Env. Sci. & Tech., 8, 8, p742-746
- (7) Wilson, Wm. E. (1972) JAPCA 22, 1, p27-32

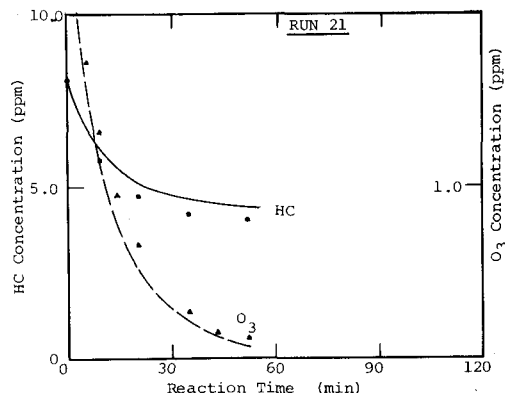


Fig. 1 The Dark Reaction of Propylene-O₃-Air Mixtures: Experimental Data by McNelis and Simulation Curves

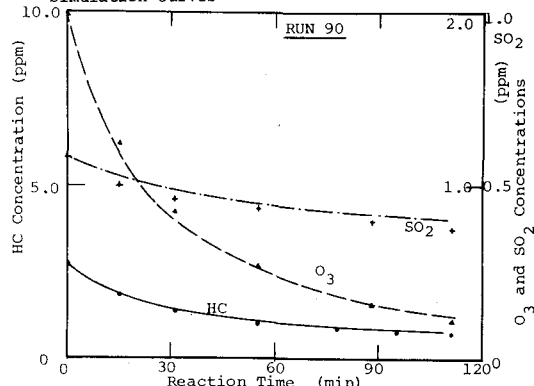


Fig. 2 The Dark Reaction of Propylene-O₃-SO₂ Air Mixtures: Experimental Data by McNelis and Simulation Curves

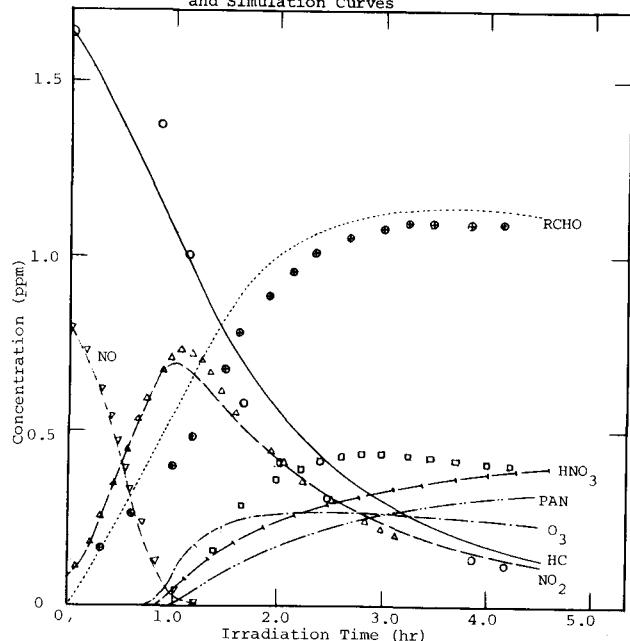


Fig. 3 The Photooxidation of Propylene-NO-NO₂-Air Mixtures: Experimental Product Rate Data From the Gulf Research and Development Co. Lab. and Computer Simulation Curves estimated by the Model Showed by Table-1